

introduzione a Bitcoin e alle criptovalute digitali

P.Bertoni

4 luglio 2014

Tabella Contenuti

- 1 Introduzione
 - Problema
 - Caratteristiche di una criptovaluta
 - Elementi teorici
- 2 Protocollo
 - Strutture dati
 - Primitive crittografiche
 - Modello formale di sicurezza
- 3 Attacchi tipici
 - Forgiatura
 - Anonimità
 - Double spending

contenuto

- 1 **Introduzione**
 - Problema
 - Caratteristiche di una criptovaluta
 - Elementi teorici
- 2 **Protocollo**
 - Strutture dati
 - Primitive crittografiche
 - Modello formale di sicurezza
- 3 **Attacchi tipici**
 - Forgiatura
 - Anonimità
 - Double spending

Criptovaluta

specifiche sul protocollo

Problema

implementare una **valuta** economica

- sicura
- basata su informatica
- decentralizzata
- distribuita

Criptovaluta

specifiche sulle transazioni

Problema

trasmettere **transazioni** di valuta tra enti

- pubbliche
- anonime \Rightarrow tra **indirizzi**, non tra utenti
- autenticate
- non ripudiabili
- irreversibili

registrate in una sorta di **storico** globale

Transazione \mathfrak{T}

idea astratta

- unica modalità di circolazione della valuta
- atto tra N mittenti e M destinatari
- gli enti sono *indirizzi*, **non** persone!
- utenti incoraggiati a usare un indirizzo unico \forall loro \mathfrak{T}
- \mathfrak{T} paragonabile a un **assegno**
“*si certifica che, in data t ,
 $\{x\}$ ha versato tot \mathfrak{B} a $\{y\}$, che ora ne è proprietario.*”

gestione del **resto**

- $y' \in \{y\}$ destinatari, indirizzo controllato da chi emette \mathfrak{T}
- diversi resti frammentati sono riuniti come molteplici mittenti

Criptovaluta

specifiche sull'affidabilità

Problema

progettare un algoritmo di **mining** per convalidare transazioni

- *trattabile* da decidere
- *intrattabile* da risolvere
- dipendente da lista transazioni in attesa

motivazione a **partecipare** al mining

- ricompense
 - immediate
 - durevoli
- complessità lavoro onesto \equiv complessità disonesto
- ma $\Pr[\text{successo lavoro disonesto}] \rightarrow 0$

contenuto

- 1 **Introduzione**
 - Problema
 - **Caratteristiche di una criptovaluta**
 - Elementi teorici
- 2 **Protocollo**
 - Strutture dati
 - Primitive crittografiche
 - Modello formale di sicurezza
- 3 **Attacchi tipici**
 - Forgiatura
 - Anonimità
 - Double spending

Differenze con valute tradizionali



ontologia

esplicita: come unità fisiche

implicita: in funzione di transazione

fiducia nell'accettazione di moneta

difficoltà di contraffazione

possibilità di furto o smarrimento

gettone fisico

chiave privata di firma digitale

fiducia nel protocollo di supporto

ente nazionale o sovranazionale

modello formale di sicurezza

i primordi: eCash [Chaum]

sistema di firma digitale a *conoscenza zero*

Scenario (e.g. voto digitale)

- sia m plaintext, A il suo autore e F il firmatario
- $A \neq F$
- firma *classica*: $S(m, K_{PR}^A)$
- firma *cieca*: $S^B(f(m), K_{PR}^F)$
- F non può calcolare m data $f(m)$

Algoritmo

- 1 A estrae *nonce* x
- 2 A calcola e invia $\tilde{m} = f(m, x)$ messaggio *blinded*
- 3 F calcola e invia $\tilde{s} = S(\tilde{m}, K_{PR}^F) \equiv S^B(f(m), K_{PR}^F)$
- 4 A calcola $s = f^{-1}(\tilde{s}. \tilde{m}, x)$ firma valida

contenuto

- 1 **Introduzione**
 - Problema
 - Caratteristiche di una criptovaluta
 - **Elementi teorici**
- 2 Protocollo
 - Strutture dati
 - Primitive crittografiche
 - Modello formale di sicurezza
- 3 Attacchi tipici
 - Forgiatura
 - Anonimità
 - Double spending

Curve Ellittiche

- varietà abeliane
- curve algebriche piane definite da:
 $y^2 = x^3 + ax + b$
- non singolari: $4a^3 + 27b^2 \neq 0$

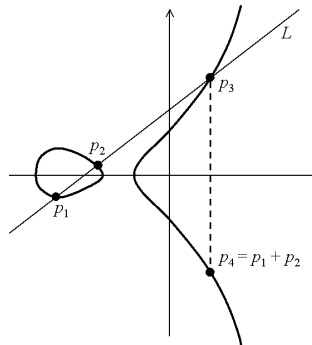
Theorem (Hasse)

sia \mathbb{F}_q il campo di Galois di ordine q

sia $\mathcal{E} = \mathcal{E}_{(a,b)}(\mathbb{F}_q)$ una curva ellittica su \mathbb{F}_q

$$|o(\mathcal{E}) - (q + 1)| \leq 2\sqrt{q}$$

\Rightarrow l'ordine del campo finito usato governa
la *difficoltà*



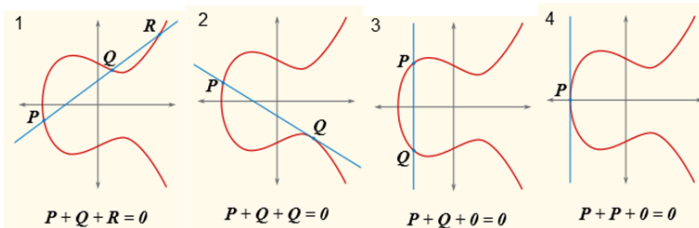
Curve Ellittiche

legge di gruppo

$$R = P + Q \triangleq (x_R, -y_R) :$$

$$\begin{cases} y_R = y_P + s(x_R - y_P) \\ x_R = \begin{cases} s^2 - 2x_P & s = \frac{3x_P^2 - p}{2y_P} : x_P = x_Q \\ s^2 - x_P - x_Q & s = \frac{y_P - y_Q}{x_P - x_Q} \text{ else} \end{cases} \end{cases}$$

$$R = P \times n \triangleq P + P + \dots + P \quad n \text{ volte}$$



Curve Ellittiche

problema matematico

$(\mathcal{E}_{(a,b)}(\mathbb{F}_q), +)$ è un gruppo abeliano

- chiusura
- associatività
- identità
- invertibilità
- commutatività

Problema: trovare $d \in [1, n-1]$, dati

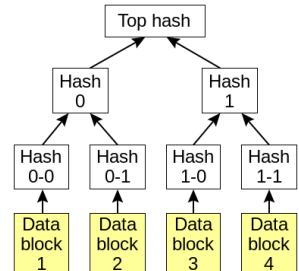
- $\mathcal{E} = \mathcal{E}_{(a,b)}(\mathbb{F}_q)$
- $G \in \mathcal{E} : \langle G \rangle = \mathcal{E}$
- $n = o(G) : G \times n = O = P_\infty, n$ primo
- $P \in \mathcal{E}$
- $Q = P \times d$

Funzioni di Hash

- $h: \mathbb{Z} \rightarrow \mathbb{Z}_n$ non iniettiva, i.e. one-way
- resistenza a
 - preimmagine \rightarrow ricerca *bruta* è $O(2^n)$
 - collisioni deboli \rightarrow " " "
 - collisioni forti \rightarrow *birthday*: ricerca *bruta* è $O(2^{n/2}) \ll O(2^n)$
- usate soprattutto per
 - autenticazione
 - integrità
- spesso viene firmato il **digest** $d = h(m)$ anzichè m
nei sistemi di autenticazione e non ripudio
- insieme ai *salt* prevengono attacchi *dizionario*

Alberi di Merkle

- foglie \leftrightarrow transazioni
- altri nodi \leftrightarrow hash dei loro figli
- dimostrare che una foglia \in albero: $O(\log_2 N)$
- usando una lista: $O(N) \gg O(\log_2 N)$
- protegge integrità transazioni
- nati per firme *one time* di Lamport
- Bitcoin: $hash_n = SHA_{256}(SHA_{256}(\mathcal{L}_n | \mathcal{R}_n))$



contenuto

- 1 Introduzione
 - Problema
 - Caratteristiche di una criptovaluta
 - Elementi teorici
- 2 **Protocollo**
 - **Strutture dati**
 - Primitive crittografiche
 - Modello formale di sicurezza
- 3 Attacchi tipici
 - Forgiatura
 - Anonimità
 - Double spending

Transazione \mathfrak{T}

struttura dati

- ogni mittente appone la propria firma
- $\sum_i^N \mathbb{B}_i^{in} \geq \sum_i^M \mathbb{B}_i^{out}$

-
- $\mathfrak{T}^{ID} = h(\mathfrak{T})$
 - timestamp t
 - $\forall i$ indirizzo di input \mathfrak{I}_i^{in}
 - ~~somma trasferita~~ \mathbb{B}_i^{in}
 - chiave $K_{i,in}^{PB}$
 - indice $p: \mathfrak{I}_i^{in} = \mathfrak{I}_p^{out}$
 - $\mathfrak{T}_{-1}^{ID} = h(\mathfrak{T}_{-1})$ precedente
 - firma $S_i(h(\mathfrak{T}_{-1}, K_{j,out}^{PB}))$
 - $\forall j$ indirizzo di output \mathfrak{I}_j^{out}
 - somma ricevuta \mathbb{B}_j^{out}
 - chiave $K_{j,out}^{PB}$

Blocco \mathfrak{B}

struttura dati

Header

- hash del blocco \mathfrak{B}_{i-1}
- MerkleTree di $\{\mathfrak{T}\}_{\mathfrak{B}}$
- timestamp corrente
- target z (vedi dopo)
- nonce x
- titolare \mathfrak{T} di *coinbase* (vedi dopo)

Payload

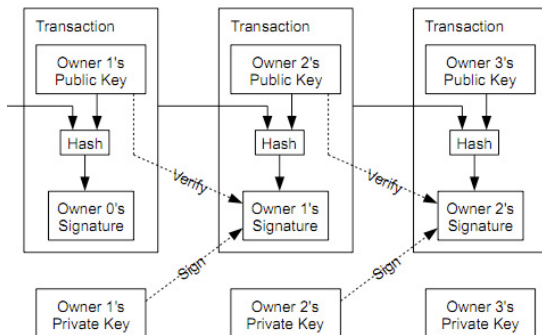
- lista transazioni $\{\mathfrak{T}\}_{\mathfrak{B}}$

- durante *mining* di \mathfrak{B} , campi continuamente modificati
- \mathfrak{B} describe la propria *proof of work*
 - *input*: header di \mathfrak{B}
 - *funzione hash*: $\text{SHA}_{256}(\text{SHA}_{256}(\cdot))$

Transazioni → Blocchi

generazione nuova transazione

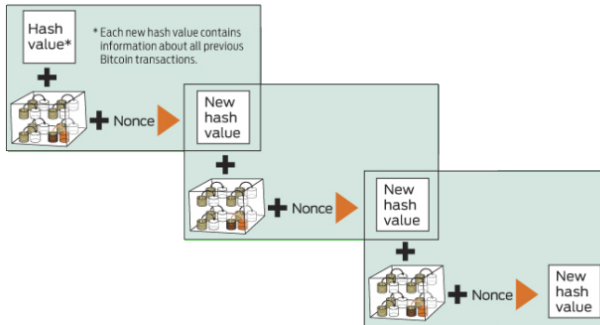
- 1 broadcastata nella rete tramite protocollo *flooding*
- 2 ogni miner **può** includerla nel suo *pool*
- 3 *invalida* fino a risoluzione del \mathfrak{B} ove viene inserita
- 4 a quel punto chi l'ha ancora in pool la rimuove



Blocchi → Blockchain

generazione catena di blocchi

- hash dei blocchi precedenti \sim puntatori di una lista
- a ritroso si giunge al \mathfrak{B} di *genesis*



Motivazione all'utilizzo

transazioni Coinbase \mathcal{C}

- $\forall \mathfrak{B}, \exists ! \mathcal{C}$
- inputs: \emptyset
- outputs: miners che han risolto \mathfrak{B}
- ricompensa
 - 50 ฿ iniziali [2009]
 - dimezzata ogni 210K blocchi risolti
 - nulla dopo 6.93M blocchi [previsto 2140 A.D.]
 $\Rightarrow \sum_{i=0}^{6.93M-1} \frac{50}{2^{\lfloor i/210K \rfloor}} = 21M \text{ ฿}$
- inflazione
 - dettata solo da mining
 - limitata

Motivazione all'utilizzo

fees \mathfrak{F} sulle transazioni

\forall transazione \mathfrak{T}

- $\mathfrak{F} = \sum_i^N \mathbb{B}_i^{in} - \sum_i^M \mathbb{B}_i^{out} \geq 0$
- spetta a miners che risolvono $\mathfrak{B} \ni \mathfrak{T}$
- $\left\{ \begin{array}{l} \text{mai obbligatoria, ma...} \\ \text{miners **mai** obbligati ad aggiungere } \mathfrak{T} \text{ a proprio pool di lavoro} \end{array} \right.$

\Rightarrow fees **incentivi** per

- velocizzare validazione di \mathfrak{T}
- *mining* costante nonostante decrescita *coinbase rewards*

contenuto

- 1 Introduzione
 - Problema
 - Caratteristiche di una criptovaluta
 - Elementi teorici
- 2 Protocollo
 - Strutture dati
 - **Primitive crittografiche**
 - Modello formale di sicurezza
- 3 Attacchi tipici
 - Forgiatura
 - Anonimità
 - Double spending

ECDSA

inizializzazione

Alice: scelta dei parametri **pubblici**

- 1 $q = 2^m$
- 2 $(a, b) : 4a^3 + 27b^2 \neq 0$
- 3 $G = (x_G, y_G) \in \mathcal{E}_{(a,b)}(\mathbb{F}_q)$
- 4 $n = o(G)$, i.e. $n \times G = O$

Alice: generazione coppia chiavi

- 1 $K^{PR} \triangleq d_A \leftarrow \text{rand} \in [1, n-1]$
- 2 $K^{PB} \triangleq Q_A \leftarrow n \times d_A$

Bob: verifica validità di Q_A ricevuta

- 1 $Q_A \neq O$
- 2 $Q_A \in \mathcal{E}$
- 3 $Q_A \times n = O$

ECDSA

firma digitale

Alice: firma del messaggio m

- 1 $e \leftarrow \text{hash}(m)$
- 2 $k \leftarrow \text{rand} \in [1, n] \subset \mathbb{N}$
- 3 $(x_1, y_1) \leftarrow k \times G$
- 4 $r \leftarrow x_1 \bmod n$
- 5 **if** $r = 0$ **goto** 2
- 6 $s \leftarrow k^{-1}(e + rd) \bmod n$
- 7 **if** $s = 0$ **goto** 2
- 8 **return** (r, s)

ECDSA

verifica firma

Bob: verifica firma (r, s) di m

- 1 $(r, s) \in [1, n-1] \times [1, n-1]$
- 2 $e \leftarrow \text{hash}(m)$
- 3 $w = s^{-1} \pmod n$
- 4 $(u_1, u_2) \leftarrow (ew \pmod n, rw \pmod n)$
- 5 $(x_1, y_1) \leftarrow u_1 \times G + u_2 \times Q$
- 6 **ok** $\Leftrightarrow r \equiv x_1 \pmod n$

SHA-256

Secure Hash Algorithm 256 bit

- $2^{56}/2 = 128$ bit di sicurezza \Rightarrow collisioni non ancora trovate
- $\text{len}(m) \leq 2^{64} - 1$

❶ padding: $\text{len}(m|0\dots) \equiv 448 \pmod{512}$

❷ padding con 64 bit di $\text{len}(m)$

❸ N blocchi da 512 bit: $B^{(1)}, \dots B^{(N)}$

❹

$$H^{(i)} \triangleq H^{(i-1)} + C_{B^{(i)}}(H^{(i-1)})$$

❺ ritorna $d = H^{(N)}$

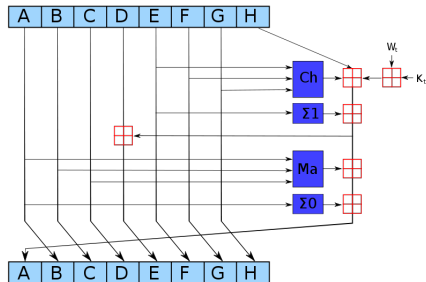


Figura: funzione di compressione C

contenuto

- 1 Introduzione
 - Problema
 - Caratteristiche di una criptovaluta
 - Elementi teorici
- 2 Protocollo
 - Strutture dati
 - Primitive crittografiche
 - **Modello formale di sicurezza**
- 3 Attacchi tipici
 - Forgiatura
 - Anonimità
 - Double spending

Firma digitale

attacco base: rottura DLOG

- $|d_{ECC}| = 256 \text{ bit} \simeq |d_{RSA}| = 3072 \text{ bit}$
- $q \simeq 10^{77}$, $n \simeq 10^{69}$, $\mathcal{E} : y^2 = x^3 + 0x + 7$ [Koblitz]
- **Meet in the middle** [Shank]: $\Omega(\sqrt{q})$
- nonce k dev'essere confidenziale: $d = r^{-1}(ks - e)$
- **Replay attack**: nonce deve tale
 - a) $r_1 = r_2 = r$, $k_1 = k_2 = k$
 - b) $s_1 \equiv k^{-1}(e_1 + dr) \pmod{n}$, $s_2 \equiv k^{-1}(e_2 + dr) \pmod{n}$
 - c) $\dots k(s_1 - s_2) \equiv (e_1 - e_2) \pmod{n}$
 - d) $m_1 \neq m_2 \Rightarrow (s_1 - s_2) \neq 0 \Rightarrow k \equiv (s_1 - s_2)^{-1}(e_1 - e_2) \pmod{n}$
- **malleability**: $(r, s) \equiv (r, -s \pmod{n})$
 \Rightarrow proposta: costringere $s < \frac{n}{2}$

Proof of Work

metodo Hashcash

- nato per contrastare spam, DoS: serve un'operazione onerosa
- *facile* verificare che il messaggio è soluzione di problema *difficile*
- **brute force** unica tecnica risolutiva
- Problema: dati $h : \mathbb{Z} \rightarrow \mathbb{Z}_n$, m , $z \leq n$, trovare nonce x :

$$d = h(m|x) < T_z = 2^{n-z+1}$$

i.e. **digest** ha z **zeri non significativi** (parametro **target**)

$$\Pr[d < T_z | Z = z] = \frac{1}{2^z} \Rightarrow O(2^z)$$

- problema risolto \Leftrightarrow blocco \mathfrak{B} risolto $\Leftrightarrow \{\mathfrak{T}\}_{\mathfrak{B}}$ convalidate

Proof of Work

esempli gratia: $z = 15$

$\text{hash}(\text{"hello world"}|001) = 9002381300129484192947128$

\vdots

$\text{hash}(\text{"hello world"}|034) = 0000834716283947104512438$

\vdots

$\text{hash}(\text{"hello world"}|415) = 0000000000000000000083201$

n.b. gambler's fallacy

$$\forall t_1, t_2 \quad \Pr(Z = z, T = t_1) = \Pr(Z = z, T = t_2)$$

Proof of Work

adattamento target

- target z_i ricalcolato ogni 2016 blocchi risolti ~ 2 settimane
- $\Delta_i \leftarrow t_i - t_{i-1}$
- $\Delta_i \leftarrow \text{clip}(\Delta_i, 0.5, 8)$
- $z_{i+1} \leftarrow z_i \frac{\Delta_i}{2}$
- $z \propto \Delta \Rightarrow$ soluzioni veloci abbassano target
i.e. generazione problemi più difficili, vv.
- blocco risolto mediamente ogni 10 minuti

Proof of Work

sicurezza di SHA256

in teoria. . .

- preimage attack: $O(2^{256})$
- birthday attack: $O(2^{256/2})$

. . . in pratica

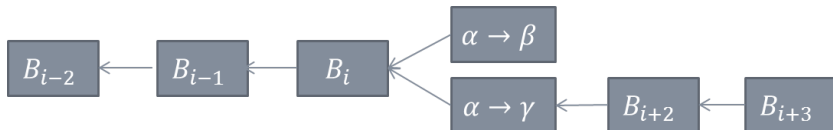
<i>Metodo</i>	<i>Attacco</i>	<i>Iterazioni</i>	<i>Complessità</i>
deterministico	collisione	24	$2^{28.5}$
meet in the middle	preimmagine	42	$2^{248.4}$
differenziale	pseudo collisione	46	2^{178}
biclique	preimmagine	45	$2^{255.5}$

Proof of Work

prevenzione double spending

per spendere due volte la stessa \mathcal{T} occorre

- modificarne gli output $\Rightarrow \mathcal{T}$ stessa $\Rightarrow \mathcal{B}$ di appartenenza
- ricalcolare nonce x per \mathcal{B} modificato
- modifica $\mathcal{B} \Rightarrow$ modifica di N blocchi successivi
- ricalcolare N nonces \Rightarrow risolvere N problemi esponenziali



forking

- risolto imponendo aggiunta a ramo più lungo
- sotto ipotesi *web of trust* sopravviverà il ramo corretto

Web of trust

dato un pool di miners \mathfrak{M} con capacità di calcolo $\mathcal{C}_{\mathfrak{M}}$ [GH/s]

$$\Pr[\mathfrak{M} \text{ risolve blocco}] \propto \frac{\mathcal{C}_{\mathfrak{M}}}{\mathcal{C}_{\Omega}}$$

\Rightarrow Bitcoin funziona solo se $\mathcal{C}_{\Theta} \geq 50\% \mathcal{C}_{\Omega}$

se $\exists \mathfrak{M}_{\Theta}$ pool disonesto: $\mathcal{C}_{\mathfrak{M}_{\Theta}} \geq 50\% \mathcal{C}_{\Omega}$

\Rightarrow catena più lunga comanderebbe \Rightarrow crollo fiducia \Rightarrow crollo valore

- no motivazione di lucro diretto
- ma no difesa contro nemici abbastanza potenti e motivati

contenuto

- 1 Introduzione
 - Problema
 - Caratteristiche di una criptovaluta
 - Elementi teorici
- 2 Protocollo
 - Strutture dati
 - Primitive crittografiche
 - Modello formale di sicurezza
- 3 Attacchi tipici
 - **Forgiatura**
 - Anonimità
 - Double spending

attacco alla firma digitale

unico modo per forgiare \mathfrak{B} : usare quelli di qualcuno

- il problema di forgiare dal nulla **non ha senso**
- occorre appropriarsi di $K_{PR} \Rightarrow$ rompere ECDSA

se **quantum computers** implementati

- rottura ECDSA può diventare *facile*
- inversione SHA_{256} resta *difficile*
- indirizzi $\mathfrak{J} = \text{SHA}_{256}(\text{SHA}_{256}(K_{PB}))$
 - ottenere K_{PB} dal solo \mathfrak{J} è *difficile*
 - ma se è nota il sistema è rotto

caso di studio: Mt.GoX [2014]

prima del crollo

exchange

- web service di scambio valute *fiat* con ₿
- 2011: compromissione account interno al perimetro \Rightarrow furto ₿
- 2013: Blockchain fork in rami con regole diverse
 \Rightarrow MtGox sospende transazioni

malleabilità

- $\mathcal{T}^{ID} \triangleq h(\mathcal{T}), \quad S \in \mathcal{T}$
- codice *MtGox* non controlla la validità del formato di S
- problema \in implementazione, \notin protocollo ₿
- \exists altri sistemi migliori per proprio storico \Rightarrow immunità

caso di studio: Mt.GoX [2014]

il crollo: attacco delle transazioni *mutanti*

frode di Eve ai danni di MtGox

- 1 M invia \mathcal{T} a E dopo legittima richiesta prelievo
- 2 E ritocca $S(\mathcal{T})$ prima della sua conferma
- 3 ora $\exists \tilde{\mathcal{T}} \equiv \mathcal{T}$, ma $h(\tilde{\mathcal{T}}) \neq h(\mathcal{T}) \Rightarrow \tilde{\mathcal{T}}^{ID} \neq \mathcal{T}^{ID}$
- 4 $\tilde{\mathcal{T}}$ diffusa da E e confermata prima di \mathcal{T}
- 5 \mathcal{T} non confermata perchè $\tilde{\mathcal{T}}$ invalido
- 6 E manda un complain a M per \mathcal{T} non ricevuta
- 7 M controlla il suo storico: \mathcal{T} non è stata accettata
- 8 M costretto a inviare \mathcal{T}' come rimborso

DDoS

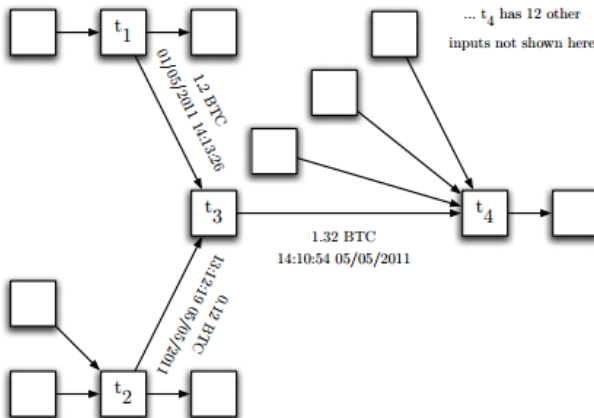
- 1 M riceve tante transazioni mutanti
- 2 grande sovraccarico, persino se c'è resistenza a frode
- 3 latenza nelle risposte \Rightarrow incertezza \Rightarrow speculazione

contenuto

- 1 Introduzione
 - Problema
 - Caratteristiche di una criptovaluta
 - Elementi teorici
- 2 Protocollo
 - Strutture dati
 - Primitive crittografiche
 - Modello formale di sicurezza
- 3 Attacchi tipici
 - Forgiatura
 - **Anonimità**
 - Double spending

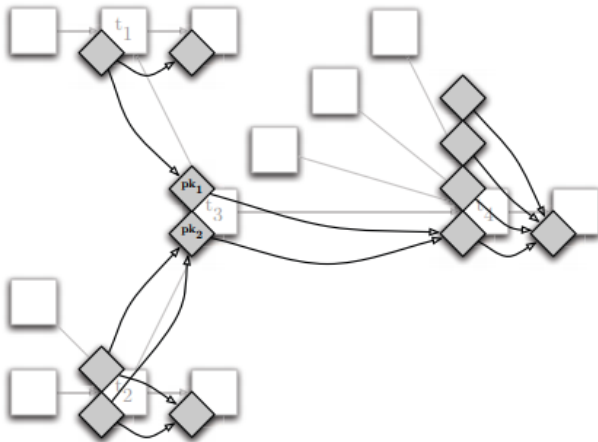
caso di studio: Reid [2011]

rete transazioni \mathcal{T}



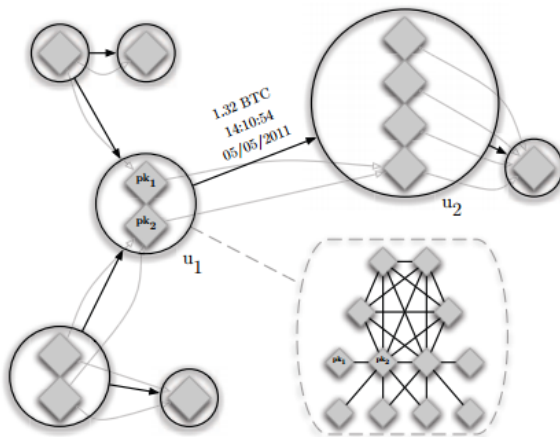
caso di studio: Reid [2011]

rete utenti imperfetta $\tilde{\mathcal{U}}$



caso di studio: Reid [2011]

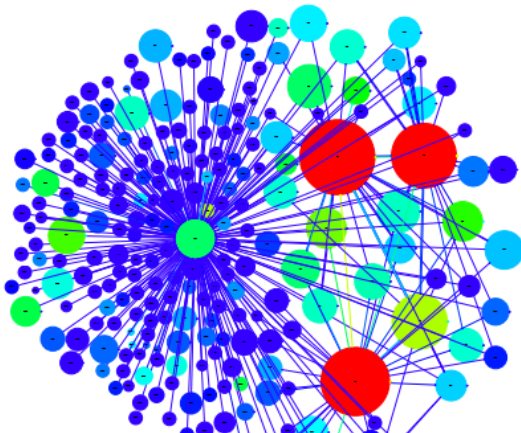
rete utenti \mathcal{U} , rete ancilla \mathcal{A}



caso di studio: Reid [2011]

integrazione con informazioni esterne

- dimensione $\propto |\{K_{PB}\}|$ utente
- colore $\propto \text{฿ scambiati}$



contenuto

- 1 Introduzione
 - Problema
 - Caratteristiche di una criptovaluta
 - Elementi teorici
- 2 Protocollo
 - Strutture dati
 - Primitive crittografiche
 - Modello formale di sicurezza
- 3 Attacchi tipici
 - Forgiatura
 - Anonimità
 - Double spending

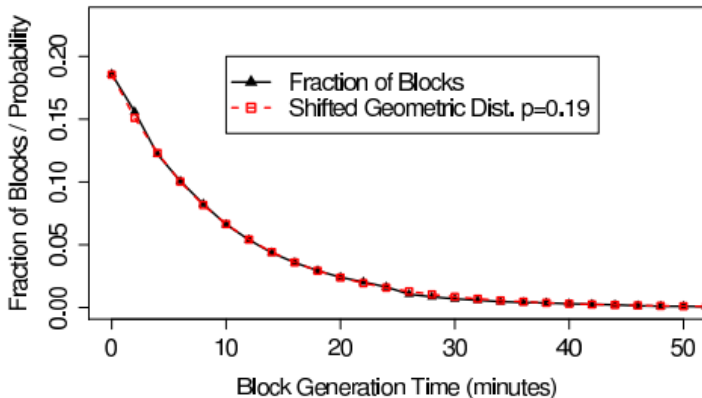
caso di studio: Karame [2012]

tipologia transazione

- *lenta*, e.g. acquisto ticket eventi
⇒ sicurezza offerta dal mining
- *veloce*, e.g. pagamento in negozio
⇒ Karame: \exists possibilità di double spending
 - tempi scambio [s] \ll tempi validazione [min]
 - Bitcoin segue tecnica dello struzzo
 - problema limitato in gravità ma non risolto

caso di studio: Karame [2012]

garantire validità nel caso *veloce*



caso di studio: Karame [2012]

ipotesi

hosts

- A peer disonesto
- H complici di A
- V vendor onesto

transazioni

- \mathcal{T}_V : acquisto regolare
- \mathcal{T}_A : recupero fraudolento

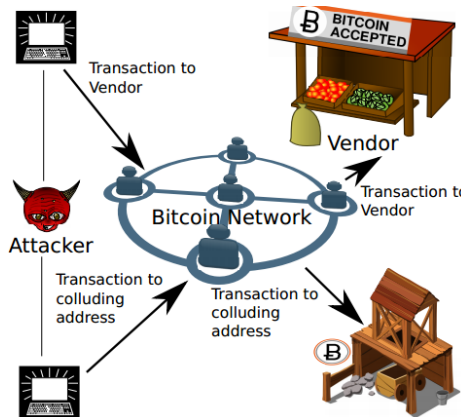
ipotesi

- A conosce indirizzo IP di V
- capacità di calcolo di A trascurabile
- $\mathcal{T}_V^{in} = \mathcal{T}_A^{in} \in A$
- $V \ni \mathcal{T}_V^{out} \neq \mathcal{T}_A^{out} \in A$
- implementazioni clients: *plain vanilla*

caso di studio: Karame [2012]

idea di massima

- $\mathcal{T}_V, \mathcal{T}_A$ inviate contemporaneamente
⇒ incluse nello stesso pool
- se $\mathcal{T}, \mathcal{T}'$ condividono inputs
⇒ non ammesse nello stesso pool
- inclusa solo la prima \mathcal{T} ad arrivare
⇒
- \mathcal{T}_A da validare rapidamente
- \mathcal{T}_V sarà smentita dalla rete



caso di studio: Karame [2012]

1^a condizione: connessione diretta

V riceve prima \mathcal{T}_V di \mathcal{T}_A oppure V includerebbe prima \mathcal{T}_A nel pool

- A conosce IP di V
- client accetta sempre nuove connessioni < 125 max
- A comunica con H
 - senza latenza
 - privatamente
- H non comunica con V
- A invia
 - 1 \mathcal{T}_V a V
 - 2 \mathcal{T}_A a H

$$\Rightarrow t_V^V < t_V^A$$

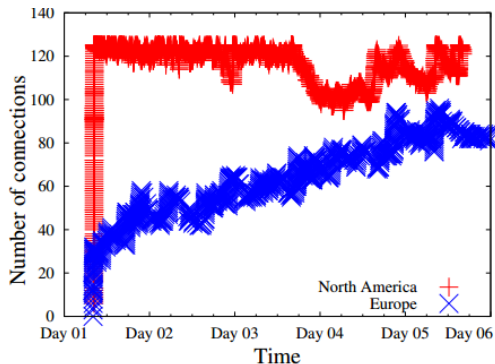


Figura: analisi del momento propizio

caso di studio: Karame [2012]

2^a condizione: diffusione manipolata

\mathcal{T}_A inclusa in blockchain (i.e. confermata) prima di \mathcal{T}_V

oppure \mathcal{T}_A non potrebbe seguire \mathcal{T}_V in blockchain

- H, V probabilmente lontani $\Rightarrow \mathcal{T}_A, \mathcal{T}_V$ broadcastate finchè
 - $\left\{ \begin{array}{l} \text{ogni peer include } \mathcal{T}_A \vee \mathcal{T}_V \text{ in proprio pool} \\ \mathcal{T}_A \vee \mathcal{T}_V \text{ è confermata} \end{array} \right.$
- $\Pr[\tau_A < \tau_V] \propto \eta_A / \eta_V$ governabile in due modi
 - invio di \mathcal{T}_A precede invio di \mathcal{T}_V
 - H aiutano A diffondendo \mathcal{T}_A e filtrando \mathcal{T}_V
- ulteriori ipotesi
 - \exists istante ove $\mathcal{T}_A, \mathcal{T}_V$ convivono
 - $\forall \epsilon$ p.a.p., $\Pr[\tau_A \sim \text{secs}] \cup \Pr[\tau_V \sim \text{secs}] < \epsilon$
 - η_A, η_V non scambiano blocchi risolti $\Rightarrow \tau_A, \tau_V$ indipendenti

caso di studio: Karame [2012]

probabilità di successo

$\Pr[\text{successo in un tempo } \delta t] \sim \text{Bernoulli}(\eta, p)$

- η = numero di peers coinvolti
- p = $\Pr[\text{peer generi un } \mathfrak{B} \text{ in } \delta t]$

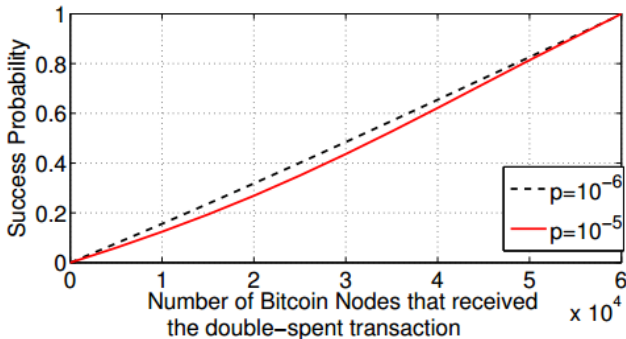


Figura: $\Pr[\text{successo} \mid \delta t = 10s, \eta = 6 \cdot 10^4]$